

# بررسی اثر میزان Ni لایه نازک آلیاژی Pt-Ni در الکترود شمارنده سلول خورشیدی حساس شده به رنگ

بهرامی، امیر<sup>۱</sup>; کاظمی نژاد، ایرج<sup>۱</sup>; عبدی، یاسر<sup>۲</sup>

<sup>۱</sup> گروه فیزیک، دانشگاه شهید چمران، اهواز

<sup>۲</sup> دانشگاه فیزیک دانشگاه تهران، انتهای خیابان کارگر شمالی، تهران

## چکیده

در این کار، الکترودهای شمارنده متنوع از لایه نازک آلیاژ Pt-Ni با شیوه الکترووایش ساخته شد. از SEM و EDXA برای بررسی ریخت شناسی و نانوساختار لایه‌ها استفاده شد. پس از بستن سلول‌های خورشیدی حساس به رنگ با لایه‌های مختلف Pt-Ni نمودار مشخصه J-V هر یک از آنها توسط دستگاه پایی پتانسیل گرفته شد. با تعیین و آنالیز پارامترهای فتوولتائیک مشخص شده با لایه آلیاژ Pt-Ni ساخته شده با این شیوه به عنوان الکترود شمارنده، برخلاف افزایش ولتاژ مدار باز، بازده تبدیل انرژی و ضریب پرشدنگی را به طور مناسب افزایش نمی‌دهد.

## Investigation of Ni content of Pt-Ni alloy thin film in dye-sensitized solar cell counter electrode

Bahrami, Amir<sup>1</sup>; Kazeminezhad, Iraj<sup>1</sup>; Yaser, Abdi<sup>2</sup>

<sup>1</sup> Department of Physics, Shahid Chamran University of Ahvaz, Ahvaz

<sup>2</sup> Department of Physics, University of Tehran, Tehran

## Abstract

In this work, various counter electrodes of electrodeposited Pt-Ni thin alloy film were used for fabricating dye-sensitized solar cells. In order to investigate the morphology and structure of the films SEM and EDX analysis were performed. J-V characteristic curve of each solar cell with various Pt-Ni alloy films was determined by a potentiostat. With determination and analysis of the photovoltaic parameters of the products it is found that despite increasing the open circuit voltage, the energy conversion efficiency and fill factor do not rise.

PACS No.6800

وظیفه اساسی یک ماده برای الکترود شمارنده در DSSC این است که بتواند؛ ۱) به عنوان کاتالیستی برای باز تولید یون‌های  $I^-$  از  $I_3^-$  در فصل مشترک الکترود شمارنده/الکتروولیت عمل کند و ۲) جمع کننده سریع الکترون‌ها از مدار خارجی به الکتروولیت یا جمع کننده حفره‌ها از ماده رسانای حفره در DSSC حالت جامد باشد [۶, ۷]. بنابراین؛ یک ماده الکترود شمارنده برای DSSC، باید مشخصاتی از جمله؛ ۱) مقاومت الکتریکی صفحه‌ای کم، ۲) رسانندگی الکتریکی و گرمایی زیاد، ۳) فعالیت کاتالیست بسیار بالا

## مقدمه

امروزه سلول‌های خورشیدی حساس به رنگ (DSSC)، یکی از برجسته‌ترین سلول‌های خورشیدی نسل سوم هستند که به دلیل برخی ویژگی‌های مانند؛ روش ساخت ساده، هزینه ساخت کمتر، انعطاف‌پذیری مورد توجه قرار گرفته‌اند [۱, ۲].

به طور کلی یک DSSC از چهار جزء اصلی تشکیل شده است [۳-۵]: ۱) فوتولاند، ۲) مولکول رنگ یا حساس کننده، ۳) الکترود شمارنده (CE) و ۴) یک محلول الکتروولیتی شامل زوج ریداکس. یکی از مهمترین اجزاء در DSSC الکترود شمارنده می‌باشد.

برای الکتروانباست لایه‌های آلیاژ Pt-Ni. یک سری محلول شامل؛ ۲mM H<sub>2</sub>PtCl<sub>6</sub>.6H<sub>2</sub>O از ۲mM KCl از ۱۰۰ml آب و ۲mM NiCl<sub>2</sub>.6H<sub>2</sub>O از ۲mM KCl از ۱۰۰ml آب یون‌زدایی به عنوان محلول پایه جهت انباست لایه Pt خالص، یون‌زدایی به عنوان محلول پایه جهت انباست لایه Ni خالص و در نهایت به ترتیب مخلوطی از محلول‌های ۲mM H<sub>2</sub>PtCl<sub>6</sub>.6H<sub>2</sub>O، ۱۰mM ۸mM ۵mM ۲mM و ۱۰mM ۸mM ۶mM ۴mM و ۱۰۰mM ۸۰mM ۶۰mM ۴۰mM و ۱۰۰mM ۸۰mM ۶۰mM ۴۰mM از NiCl<sub>2</sub>.6H<sub>2</sub>O از ۱۰۰ml آب ۲mM KCl در ۱۰۰ml آب یون‌زدایی به عنوان محلول‌ها جهت انباست لایه‌های Pt-Ni استفاده شد. قبل از انباست، صفحات شیشه رسانای FTO به ابعاد ۲cm\*۱.۵cm به داشت ۰.۱ M کلرید اسید شد و به ترتیب به وسیله محلول صابون، ۱۰min در حمام (HCl) در اتانول، استون و اتانول به مدت ۱۰min در حمام التراسونیک با دمای ۳۰ درجه شتشو شدند. مساحت موثر لایه ۰.۵cm\*۰.۵cm بر روی بستر FTO برابر با انباست Ni بود.

می‌باشد.

### تهیه فتوآند و بستن سلول

برای تهیه فتوآند مراحل زیر انجام شد: ۱) خمیر TiO<sub>2</sub> تجاری P25 روی بستر شیشه FTO با یک مساحت ۰.۲۵cm<sup>۲</sup> و ضخامت ۱۰µm اسپین کوت شد؛ ۲) لایه TiO<sub>2</sub> انباست شده تا دمای ۵۰۰ °C در هوا به مدت ۱۵min حرارت دهی شد و ۳) الکترودهای TiO<sub>2</sub> برای حساس سازی درون محلول استاندارد رنگ روتنیوم N719 با غلظت ۰.۴mM در اتانول برای جذب رنگدانه به مدت ۲۴ ساعت در دمای اتاق غوطه ور شدند. نهایتاً برای بستن سلول دو الکترود شمارنده و فتوآند توسط لایه پارافیلم به یکدیگر ساندویچ شده و فضای بین آنها با الکتروولیت مایع یدید/تی یدید به عنوان زوج ریداکس پر می‌شود تا سلول خورشیدی حساس به رنگ تکمیل گردد.

### نتایج و بحث

شکل ۱؛ تصاویر SEM الکترودهای شمارنده Pt-Ni را نشان می‌دهد. این تصاویر معلوم می‌کنند که ریخت‌شناسی سطح لایه‌های

برای احیاء زوج ریداکس، ۴) پایداری شیمیایی بالا در برابر خوردگی در الکتروولیت، ۵) هزینه تولید کم داشته باشد [۱۰-۸]. عمولاً یک لایه نازک از پلاتین، به عنوان یک ماده مناسب و معتراف برای الکترود شمارنده در DSSC استفاده می‌شود [۷, ۱۱, ۱۲]. بررسی‌ها نشان داده که دو عامل عمدۀ در کاهش فعالیت الکتروکاتالیستی Pt دخالت دارد؛ یکی تغییر خواص الکتروکاتالیستی ماده و دیگری حذف Pt از بستر الکترود است [۱۳, ۱۴].

از آنجایی که پلاتین یک فلز نجیب، گران‌بها و کمیاب در پوسته زمین می‌باشد، برای کاهش قیمت تولید DSSC پلاتین باید با مواد دیگری با قیمت کمتر و فعالیت الکتروکاتالیستی مناسب جایگزین شود. مواد جایگزین پلاتین برای الکترود شمارنده به طور کلی به پنج دسته تقسیم می‌شوند: ۱) فلزات نجیب، ۲) مواد کربن‌دار، ۳) ترکیبات غیرآلی، ۴) پلیمرهای آلی و ۵) کامپوزیت‌ها [۱۰-۸].

در این کار، ما الکترودهای شمارنده متنوع از لایه نازک آلیاژ Pt-Ni با شیوه الکتروانباست روی بستر FTO جهت کاربرد در DSSC تهیه نمودیم. برای بررسی خواص ریخت‌شناسی الکترودهای شمارنده از میکروسکوپ الکترونی روبشی (SEM) و آنالیز پراکنش انرژی پرتو ایکس (EDX) استفاده می‌کنیم. با مشخصه J-V سلول‌ها، اثر غلظت‌های متفاوت Ni را بر کارایی DSSC با استفاده از ولتاژ مدار باز، فاکتور پرشدنگی و بازده تبدیل بررسی شد.

### روش آزمایش

#### تهیه الکترود شمارنده Pt-Ni

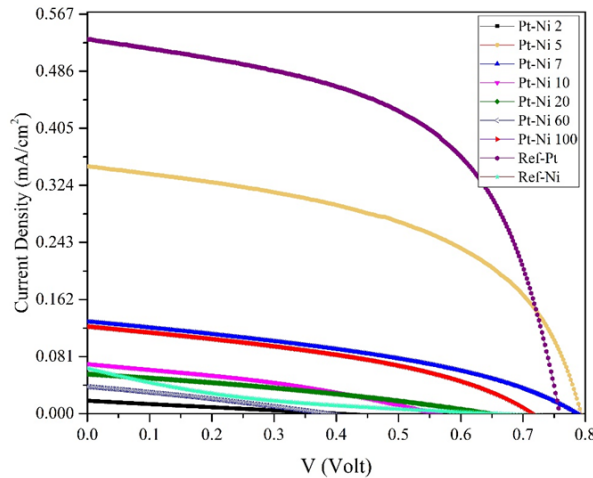
برای تهیه الکترود شمارنده با لایه Pt-Ni، از روش الکتروانباست با دستگاه پای پتانسیل و کنترل کامپیوتری در دمای اتاق استفاده شد. محاسبات ما برای لایه با ضخامت ۴۰۰nm صورت گرفت. از یک سلول سه الکترودی شامل؛ یک ورقه Pt به عنوان الکترود ثانویه، شیشه رسانای FTO به عنوان الکترود کار (کاتد یا بستر) و Ag/AgCl به عنوان الکترود مرجع استفاده شد.

Pt-Ni2	50	50
Pt-Ni5	28.6	71.4
Pt-Ni7	22.2	77.8
Pt-Ni10	16.66	83.34
Pt-Ni20	9.09	90.91
Pt-Ni60	3.23	96.73
Pt-Ni100	1.96	98.04
Pure Ni	0	100

شکل ۲: منحنی مشخصه J-V سلول‌های خورشیدی ساخته شده از الکترودهای شمارنده مختلف با لایه Pt-Ni را نشان می‌دهد. پارامترهای مختلف سلول خورشیدی، شامل؛ در Error! ارائه شده است. همچنین، مقاومت‌های سری و شانت ( $R_s$  &  $R_{sh}$ ) برای سلول‌های ساخته شده با الکترودهای مختلف با لایه Pt-Ni از طریق رابطه زیر محاسبه شدند [۱۵]:

$$R_s = \left( \frac{dV}{di} \right)_{i=0=V_{oc}} \quad (1-1)$$

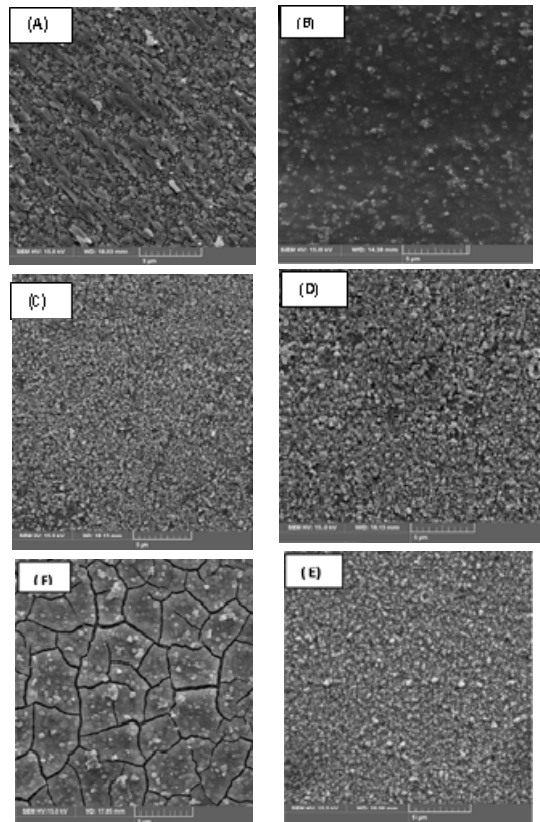
$$R_{sh} = \left( \frac{dV}{di} \right)_{v=0=i_{sc}} \quad (2-1)$$



شکل ۲: مشخصه J-V برای سلول‌های خورشیدی ساخته شده با الکترود شمارنده مختلف با لایه Pt-Ni

نتایج نشان می‌دهد که سلول خورشیدی با لایه Pt خالص بالاترین بازده تبدیل انرژی و ضریب پرشدگی را در مقایسه با دیگر الکترودها دارد. این نتیجه بیانگر این است که با ورود Ni به لایه آلیاز، فعالیت الکتروکاتالیستی در برخی از الکترودها کاهش می‌یابد. سلول‌های خورشیدی ساخته شده با لایه Pt-Ni 5 و Pt-Ni 100 می‌باشد.

آلیاز الکترودهای شمارنده Pt-Ni وابسته به استوکیومتری عناصر Pt و Ni است. الکترود خالص Pt ساختار ورقه‌ای دارد، در حالی که الکترود خالص Ni دارای ساختار دانه‌ای همگن می‌باشد. الکترودهای آلیاز Pt-Ni با مقدار کمتر Ni، متخلخل هستند و با افزایش مقدار نیکل در لایه آلیاز Pt-Ni تعدادی نقاط سفید روی سطح توزیع شده‌اند و همچنین شیارهایی در سطح مشاهده می‌شود. این اثر ممکن است نسبت داده شود به تشکیل لایه‌های آلیاز Pt-Ni متنج شده از دوباره آرایش اتمها در شبکه Pt و یا Ni.



شکل ۱: تصاویر SEM الکترودهای شمارنده آلیاز مختلف خالص، (B) Pt-Ni2 (C) Pt-Ni7 (D) Pt-Ni5 (E) Pt-Ni60 (F) Pt-Ni100

نتایج EDXA در جدول ۱ خلاصه شده است. مشاهده می‌شود که با افزایش مقدار Ni در محلول، غلظت Ni در لایه الکترود افزایش می‌یابد.

جدول ۱: میانگین ترکیبات شیمیایی روی تمام الکترودهای شمارنده با غلضت مختلف Ni

specimens	$\frac{Pt}{Pt-Ni}\%$	$\frac{Ni}{Pt-Ni}\%$
Pure Pt	100	0

Pt-Ni ساخته شده با این شیوه به عنوان الکترود شمارنده؛ علیرغم افزایش ولتاژ مدار باز، ولی بازده تبدیل انرژی و ضریب پرشدگی را به طور مناسب افزایش نمی‌دهد.

#### مرجع‌ها

- [1] S.-W. Rhee and W. Kwon, "Key technological elements in dye-sensitized solar cells (DSC)," *Korean Journal of Chemical Engineering*. **28**(7), 1481-1494 (2011).
- [2] A. Mohammad Bagher, "Types of Solar Cells and Application," *American Journal of Optics and Photonics*. **3**(5), 94 (2015).
- [3] M. Grätzel, "Dye-sensitized solar cells," *J. Photochem. Photobio C: Photochem Rev.* **4**(2), 145-153 (2003).
- [4] A. Hagfeldt, et al., "Dye-Sensitized Solar," *Chem. Rev.* **110**, 6595-6663 (2010).
- [5] J. Gong, J. Liang, and K. Sumathy, "Review on dye-sensitized solar cells (DSSCs): Fundamental concepts and novel materials," *Renewable and Sustainable Energy Reviews*. **16**(8), 5848-5860 (2012).
- [6] S. Thomas, et al., "A review on counter electrode materials in dye-sensitized solar cells," *J. Mater. Chem. A*. **2**(13), 4474-4490 (2014).
- [7] R. Irani, N. Naseri, and S. Beke, "A review of 2D-based counter electrodes applied in solar-assisted devices," *Coordination Chemistry Reviews*. **324**, 54-81 (2016).
- [8] M. Wu and T. Ma, "Platinum-free catalysts as counter electrodes in dye-sensitized solar cells," *ChemSusChem*. **5**(8), 1343-57 (2012).
- [9] M. Ye, et al., "Recent advances in dye-sensitized solar cells: from photoanodes, sensitizers and electrolytes to counter electrodes," *Materials Today*, (2014).
- [10] M. Wu and T. Ma, "Recent Progress of Counter Electrode Catalysts in Dye-Sensitized Solar Cells," *The Journal of Physical Chemistry C*. **118**(30), 16727-16742 (2014).
- [11] D. Fu, P. Huang, and U. Bach, "Platinum coated counter electrodes for dye-sensitized solar cells fabricated by pulsed electrodeposition—Correlation of nanostructure, catalytic activity and optical properties," *Electrochimica Acta*. **77**, 121-127 (2012).
- [12] S.-S. Kim, et al., "Electrodeposited Pt for cost-efficient and flexible dye-sensitized solar cells," *Electrochimica Acta*. **51**(18), 3814-3819 (2006).
- [13] N. Papageorgiou, "An Iodine/Triiodide Reduction Electrocatalyst for Aqueous and Organic Media," *Journal of The Electrochemical Society*. **144**(3), 876 (1997).
- [14] N. Papageorgiou, "Counter-electrode function in nanocrystalline photoelectrochemical cell configurations," *Coordination Chemistry Reviews*. **248**(13-14), 1421-1446 (2004).
- [15] Z. Wang, et al., "Organic/inorganic hybrid solar cells based on SnS/SnO nanocrystals and MDMO-PPV," *Acta Materialia*. **58**(15), 4950-4955 (2010).

7، فاکتور پرشدگی و بازده تبدیل انرژی بهتری نسبت به بقیه الکترودهای شمارنده نشان می‌دهند. در حالی که ولتاژ مدار باز Pt-Ni 7 و Pt-Ni 5 ( $V_{oc}$ ) در سلول‌های شامل الکترود با لایه 5 خالص بالاتر است. این نتایج نشان نسبت به الکترود با لایه Pt می‌دهد که با ورود Ni به لایه الکترود با غلظت کم، فعالیت الکتروکاتالیستی کاهش می‌یابد که به تبع آن، جمع آوری الکترون‌ها از مدار خارجی و همچنین احیاء یون تری یدید به کندی صورت می‌گیرد و بازده تبدیل انرژی کاهش می‌یابد.

جدول ۲: پارامترهای فتوولتاییک سلول خورشیدی با لکترودهای شمارنده با لایه مختلف Pt-Ni

specimen	$V_{oc}$ (v)	$J_{sc}$ (mA/ cm <sup>2</sup> )	FF	$\eta$ %	$R_s$ ( $\Omega/cm^2$ )	$R_{sh}$ ( $\Omega/cm^2$ )
Pt-Ni 2	0.39	0.02	0.25	0.002	17.82	21.99
Pt-Ni 5	0.79	0.35	0.51	0.142	0.31	13.32
Pt-Ni 7	0.79	0.13	0.38	0.039	1.92	9.98
Pt-Ni 10	0.56	0.07	0.34	0.013	4.7	9.52
Pt-Ni 20	0.64	0.06	0.31	0.011	7.08	20.01
Pt-Ni 60	0.38	0.04	0.28	0.004	8.51	11.76
Pt-Ni 100	0.71	0.12	0.39	0.034	1.64	15.41
Pure-Pt	0.76	0.53	0.55	0.222	0.22	6.63
pure-Ni	0.65	0.06	0.14	0.006	23.67	48.79

برای بیشتر شدن بازده سلول خورشیدی باید تا حد ممکن مقاومت سری کاهش یابد و بر عکس مقاومت موازی باید بزرگ شود تا از افت جریان جلوگیری شود. در سلول‌های خورشیدی ساخته شده با لکترودهای شمارنده با لایه مختلف Pt-Ni، سلول ساخته شده با الکترود شمارنده با لایه خالص Pt دارای کمترین مقاومت سری است و سپس با افزایش غلظت Ni در لایه الکترودها، مقاومت سری به طور جزئی افزایش می‌یابد. همین روند نیز در مقاومت شانت مشاهده می‌شود.

#### نتیجه‌گیری

الکترودهای شمارنده متنوع از لایه نازک آلیاژ Pt-Ni با شیوه FTO/Pt-Ni جهت کاربرد در DSSC ساخته شد. محاسبات پارامترهای فتوولتایی نشان داد که لایه آلیاژ